

## بهینه‌سازی سازه‌های پوسته‌ای با شکل دلخواه، تحت قید تنش و با به کارگیری توابع اسپلاین

فروغ عباسی پریزاد<sup>۱</sup>، بهروز حسنی<sup>۲\*</sup>، حسین قاسم نژاد مقری<sup>۳</sup>

۱- دانشجوی کارشناسی ارشد، مهندسی هواپیما، دانشگاه فردوسی مشهد، مشهد، ایران

۲- استاد، مهندسی مکانیک، دانشگاه فردوسی مشهد، مشهد، ایران

۳- دانشجوی دکتری، مهندسی عمران، دانشگاه شهرورد

\*مشهد، صندوق پستی ۱۱۱۱-۹۱۷۷۵ b\_hassani@um.ac.ir

### چکیده

بهینه‌سازی شکل سازه‌های پوسته‌ای با توابع هدف و قیود مختلف از جمله قید تنش موضوع این مقاله است. برای مدل‌سازی شکل از توابع بی‌اسپلاین استفاده شده است که امکان تولید هندسه هموار با هر شکل دلخواه را به کمک تعداد کمی از پارامترها فراهم ساخته و متغیرهای طراحی مسئله بهینه‌سازی را تشکیل می‌دهند. برای تحلیل سازه از روش اجزای محدود با المان پوسته چهار گرهی ویلسون استفاده شده است. برای یافتن شکل بهینه، در هر گام از مسئله بهینه‌سازی اجزای محدود، تحلیل سازه، تحلیل حساسیت و به هنگام کردن مدل هندسی، به طور متوالی تاحصول همگرایی انجام می‌شود. پیشینه کردن سختی سازه با قید حجم مصالح و نیز کمینه‌سازی وزن سازه با در نظر گرفتن تنش فون میزس به عنوان قید از جمله مسائل طرح شده در این مقاله هستند. در هر دو نوع مسائل مختصه قائم نقاط کنترلی توابع بی‌اسپلاین به عنوان متغیر طراحی در نظر گرفته شده است و از روش برنامه‌ریزی ترتیبی درجه دوم (SQP) برای حل مسئله بهینه‌سازی استفاده شده است. از آنجا که استفاده از این روش مستلزم مشخص بون مقدایر مشتقات تنابع هدف و قید در مسئله بهینه‌سازی است، در هر گام تحلیل حساسیت به روش تفاضل‌های محدود انجام شده است. شکل‌های هموار حاصل از بهینه‌سازی و نیز نمودارهای همگرایی تابع هدف مثال‌های ارائه شده، نشان‌دهنده کارایی روش پیشنهادی در بهینه‌سازی شکل سازه‌های پوسته‌ای می‌باشد.

### اطلاعات مقاله

مقاله پژوهشی کامل

دریافت: ۱۲ خرداد ۱۳۹۳

پذیرش: ۱۷ شهریور ۱۳۹۳

ارائه در سایت: ۱۷ آبان ۱۳۹۳

کلید واژگان:

بهینه‌سازی شکل

پوسته‌های با شکل دلخواه

المان پوسته ویلسون

اجزای محدود

توابع بی‌اسپلاین

## Optimization of free form shells under stress constraint and using B-Spline functions

Froug Abbasi Parizad<sup>1</sup>, Behrooz Hassani<sup>2\*</sup>, Hossein GhasemnejadMoghari<sup>3</sup>

1- Department of Aerospace Engineering, Ferdowsi University, Mashhad, Iran

2- Department of Mechanical Engineering, Ferdowsi University, Mashhad, Iran

3- Department of Civil Engineering , Shahrood University, Shahrood, Iran

\*P.O.B. 91775-1111, Mashhad, b\_hassani@um.ac.ir

### ARTICLE INFORMATION

Original Research Paper

Received 02 June 2014

Accepted 08 September 2014

Available Online 08 November 2014

Keywords:

Shape optimization

Free form shell

Wilson element

Finite element method

B-Spline

### ABSTRACT

Shape optimization of free form shell structures with different objective and constraint functions including the stress constraint is the subject of this article. To construct the geometry B-Splines are employed that allow generating smooth free form geometries with a small number of parameters which are considered as the design variables of the optimization problem. For analysis, the finite element method, by using the Wilson's quad shell element is employed. For shape optimization, in each step of the optimization process the mesh generation, finite element analysis, sensitivity analysis and geometry update steps are repeated until convergence. Maximization of the stiffness of structure with volume constraint and the minimization of the weight of structure with the von Misses stress constraint are the problems addressed in this article. In both kinds of problems applies of the control points is considered as the design variables of the shape optimization problem and the sequential quadratic programming (SQP) is employed to solve the optimization problem. Since in this approach the derivatives of the objective and constraint functions are required, the sensitivity analysis is carried out in each step by the finite difference method. The quality and smoothness of the obtained results together with the convergence graphs of the presented examples are indicative of the usefulness and efficiency of the proposed approach for shape optimization of shell structures.

### ۱- مقدمه

بهینه‌سازی علمی است که در شاخه‌های مختلف علوم مورد استفاده قرار می‌گیرد. یکی از کاربردهای بهینه‌سازی، بهینه‌سازی شکل سازه است. در این می‌توان در آثار هفتکا و گرندھی [۱]، دینگ [۲]، اولهوف و روزانی [۳] یافت.

بهینه‌سازی علمی است که در شاخه‌های مختلف علوم مورد استفاده قرار می‌گیرد. یکی از کاربردهای بهینه‌سازی، بهینه‌سازی شکل سازه است. در این

Please cite this article using:

F. Abbasi Parizad, B. Hassani, H. GhasemnejadMoghari, Optimization of free form shells under stress constraint and using B-Spline functions, *Modares Mechanical Engineering*, Vol. 14, No. 16, pp. 190-200, 2015 (In Persian)

برای ارجاع به این مقاله از عبارت ذیل استفاده نمایید:

استفاده از مقدار مشخصی از مصالح، شکل بهینه ساخت‌ترین سازه به دست می‌آید؛ در حالی که هیچ کنترلی بر مقادیر تنش که یکی از معیارهای مهم طراحی است انجام نمی‌شود. در تحقیق حاضر این موضوع مورد بررسی قرار گرفته است و مسائل بهینه‌سازی از هر دو نوع مورد بررسی قرار گرفته‌اند. به این منظور دسته‌ای از مسائل با قید تنش و کمینه‌سازی وزن مورد بررسی قرار گرفته است. در این مسائل معیار تنش فون میزس به عنوان قید طراحی در مسئله بهینه سازی در نظر گرفته شده و وزن حداقل سازه با در نظر گیری این قیود به دست آمده است.

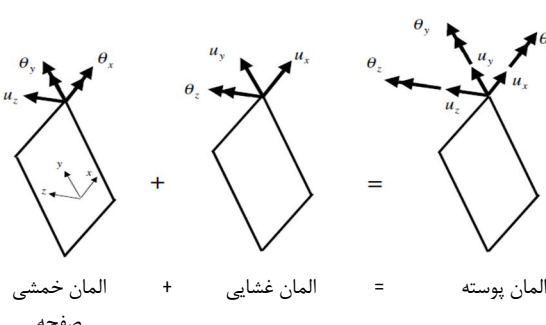
به منظور تولید هندسه سازه‌های پوسته‌ای با فرم دلخواه از توابع بی - اسپلاین استفاده شده است و مختصه قائم نقاط کنترلی سطوح بی - اسپلاین به عنوان متغیرهای طراحی مسئله بهینه‌سازی در نظر گرفته شده‌اند.

در اولین مرحله از گام‌های بهینه‌سازی، شکل سازه پوسته‌ای به کمک توابع بی - اسپلاین تولید می‌شود. در مرحله بعد، شبکه موردنظر با استفاده از الگوریتم‌های خاص در ساخت شبکه‌بندی اجزای محدود، تولید می‌شود. در نهایت مسئله به روش اجزای محدود تحلیل شده و در مرحله نهایی بهینه‌سازی انجام می‌شود. این روند آن قدر تکرار می‌شود تا تابع هدف مورد نظر تحت توابع قید اعمال شده به آن، اکسترمم شود.

به منظور تحلیل اجزای محدود سازه‌های پوسته‌ای با شکل دلخواه، از المان پوسته ویلسون استفاده شده است. المان ویلسون یک المان مسطح پوسته است و از برهم نهی المان خمی صفحه کریشهف و المان غشایی با در نظر گرفتن درجه آزادی چرخشی  $\theta_z$  تشکیل شده است (شکل 2). این المان چهار گره دارد و هر گره آن دارای شش درجه آزادی می‌باشد [18]؛ سه درجه آزادی مربوط به حرکت خطی در سه راستا و سه درجه آزادی چرخشی حول سه محور، که به دلیل در نظر گرفتن درجه آزادی چرخشی حول محور  $Z$  قادر به مدل‌سازی دقیق رفتار پوسته می‌باشد.

در تحقیق حاضر از روش برنامه ریزی ترتیبی درجه دو به منظور بهینه‌سازی شکل سازه‌های پوسته‌ای استفاده شده است. فرمول‌بندی این روش دقت و سرعت بهینه‌سازی را افزایش می‌دهد.

در بخش 2 این مقاله توابع بی - اسپلاین تشریح شده است. بخش 3 به تحلیل اجزای محدود المان پوسته ویلسون اختصاص داده شده است. در بخش 4 تحلیل حساسیت ارائه شده است. در بخش 5 الگوریتم بهینه‌سازی توضیح داده شده است و در بخش 6 به تعریف مسئله بهینه‌سازی پرداخته شده است. در این بخش توابع هدف و قید به همراه متغیرهای طراحی مسئله بهینه‌سازی ارائه شده است. در بخش 7 مثال‌هایی مورد بررسی قرار گرفته‌اند و نتایج تشریح شده است.

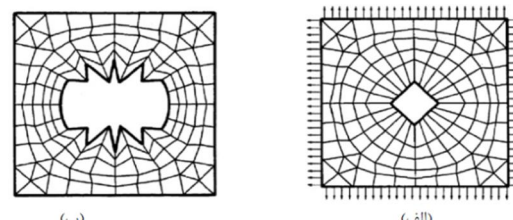


شکل 2 شکل گیری المان مسطح پوسته [18]

در بهینه‌سازی شکل، توبولوژی سازه ثابت باقی می‌ماند، در حالی که مختصات متغیرهای طراحی برای رسیدن به شکل بهینه تغییر می‌کنند. نحوه انتخاب متغیرهای طراحی مسئله بهینه‌سازی تأثیر مستقیمی بر کیفیت شکل بهینه دارد. در اولین تحقیقات انجام شده توسط زنکوچ و کمپبل [4]، مختصات گره‌های اجزای محدود که بر روی مرازها قرار داشتند، به عنوان متغیرهای طراحی مسئله بهینه‌سازی در نظر گرفته می‌شدند. با وجودی که نتایج اولیه برای این روش مناسب بود، اما دو اشکال اصلی در این روش وجود داشت؛ تعداد زیاد متغیرهای طراحی و زبری شدید مرازهای بهینه شده. بدین ترتیب این روش برای مسائلی که دارای تعداد المان‌های زیاد و یا مرازهای پیچیده‌ای بودند به سرعت کارایی خود را از دست داد، چرا که حل مسئله بهینه‌سازی به این روش مستلزم استفاده از کامپیوترهای قوی‌تر و الگوریتم‌های پیچیده‌تری بود. به عنوان مثال در شکل 1 مشکلات این روش در بهینه کردن وزن یک صفحه با حفره میانی نشان داده شده است. در این مسئله محدودیت تنش‌ها به عنوان قید در نظر گرفته شده است. جواب مسئله به صورت شکل سمت چپ می‌باشد که غیرواقعی است. این مشکل به دلیل جایه‌جایی مستقل گره‌ها در مراز سازه به وجود می‌آید که در نهایت باعث به وجود آمدن مرازهای زیگزاگی شده است. به علاوه استفاده از گره‌های ممزی به عنوان متغیرهای طراحی، بهینه‌سازی را به شدت به نحوه شبکه‌بندی و استه می‌سازد و در نهایت منجر به افزایش تعداد متغیرهای طراحی می‌شود. برای رفع این مشکل می‌توان از یک سری محدودیت‌ها بین گره‌ها استفاده نمود. البته این کار پیچیدگی مسئله بهینه‌سازی را بیشتر می‌سازد.

به منظور برطرف کردن این مشکل، اوزاکا در سال 1993 از چندجمله‌ای‌های جبری استفاده نمود [5]. بدین ترتیب که ضرایب چندجمله‌ای‌های به عنوان متغیرهای طراحی مسئله در نظر گرفته می‌شوند. در نتیجه تعداد متغیرهای طراحی کاهش می‌یابد. اما استفاده از چندجمله‌ای‌های با درجات بالاتر امکان بروز ناپایداری عددی و نوسان در شکل سازه را به همراه داشت. بدین ترتیب محققین با توجه به پیشرفت‌های علم هندسه، روش‌های جدیدتری را برگزیدند. برینت و فلوری نشان دادند که به منظور بهینه‌سازی شکل، استفاده از منحنی‌های بزرگ و بی اسپلاین بسیار مناسب است [6]. در این روش مرازهای سازه با استفاده از اسپلاین‌ها مدل‌سازی می‌شود. استفاده از اسپلاین‌ها سبب می‌شود تا بتوان با تعداد کمی از متغیرهای طراحی، شکل‌های پیوسته ایجاد نمود. طبیعت پارامتریک مدل طراحی امکان کنترل شکل سازه را از طریق بهبود محل قرارگیری نقاط کنترلی ایجاد می‌کند. استفاده از اسپلاین‌ها در بهینه‌سازی شکل سازه‌های پوسته‌ای را می‌توان در کارهای لین و چائو [7]، موته و رم [8]، آنسولا و همکاران [9]، حسنی و همکاران [10]، کای و همکاران [11] و مک [12] مرور کرد.

در بسیاری از مسائل طراحی بهینه شکل سازه‌های پوسته‌ای از انرژی کرنشی به عنوان تابع هدف استفاده شده است [13-17]. در این مسائل با



شکل 1 (الف) طرح اولیه (ب) طرح نهایی [6]

به منظور مدل‌سازی سازه‌های پوسته‌ای از سطوح بی-اسپلین استفاده شده است. این سطوح با استفاده از یک شبکه از نقاط کنترلی و دو بردار گره، طبق رابطه (3) تعریف می‌شوند:

$$s(u, v) = \sum_{i=0}^n \sum_{j=0}^m N_{i,p}(u) N_{j,p}(v) p_{i,j} \quad (3)$$

بردارهای گره نیز به صورت روابط (4) و (5) خواهد بود که بردار  $U$  دارای  $r+1$  گره و بردار  $V$  دارای  $1+q$  گره می‌باشند.  $p$  و  $q$  درجات توابع پایه بی-اسپلین در نظر گرفته شده در دو جهت می‌باشند.

$$U = \{0, \dots, 0, u_{p+1}, \dots, u_{r-p-1}, 1, \dots, 1\} \quad (4)$$

$$V = \{0, \dots, 0, v_{q+1}, \dots, v_{s-q-1}, 1, \dots, 1\} \quad (5)$$

### 3- تحلیل اجزای محدود

همان‌طور که اشاره شد برای تحلیل اجزای محدود سازه‌های پوسته‌ای با شکل دلخواه، از برنامه نوشته شده بر اساس المان پوسته چهار گرهی ویلسون استفاده شده است. این المان از ترکیب المان تنش صفحه‌ای و المان خمی با در نظر گرفتن درجه آزادی چرخشی  $\theta_z$  به دست می‌آید (شکل 2)، به نحوی که المان ترکیبی، شامل رفتار خمی و غشایی می‌باشد. المان غشایی، دارای دو درجه آزادی جابه‌جایی خطی در هر گره است. المان خمی صفحه نیز دارای دو دوران درون صفحه‌ای و یک جابه‌جایی عرضی در جهت عمود بر صفحه المان می‌باشد. بدین ترتیب با ترکیب دو المان فوق می‌توان تغییرمکان‌ها و نیروهای گرهی المان پوسته را برای گره‌های صورت روابط (6) و (7) نوشت:

$$\{q_i\} = \{u_i \ v_i \ w_i \ \theta_{xi} \ \theta_{yi} \ \theta_{zi}\}^T \quad (6)$$

$$\{f_i\} = \{F_{xi} \ F_{yi} \ F_{zi} \ M_{xi} \ M_{yi} \ M_{zi}\}^T \quad (7)$$

در روابط (6) و (7)،  $u$  و  $v$  به ترتیب جابه‌جایی‌های درون صفحه‌ای در راستای دو محور  $x$  و  $y$  می‌باشند. همچنین متغیر  $w$ ، معروف جابه‌جایی عمود بر صفحه المان پوسته است. متغیرهای  $\theta_x$  و  $\theta_y$  نیز به ترتیب دوران‌های ساعتگرد حول محورهای  $x$  و  $y$  می‌باشند.  $\theta_z$  نیز به ترتیب دور گره  $\theta_z$  می‌باشد.  $F_{xi}$  و  $F_{yi}$  نیز به ترتیب نیروهای خطی در راستای محورهای  $x$  و  $y$  می‌باشند و  $M_{zi}$  معروف نیروی پیچشی حول محور  $z$  است. با مینیمم کردن انرژی پتانسیل کل، رابطه بین تغییرمکان‌های  $\{q^s\}$  و نیروهای گرهای  $\{f^s\}$  المان پوسته به صورت رابطه (8) به دست می‌آید:

$$\{f^s\} = [k^s] \{q^s\} \quad (8)$$

در رابطه (8)،  $[k^s]$  ماتریس سختی المان پوسته است که از ترکیب ماتریس‌های سختی المان غشایی  $[k^m]$ ، المان صفحه خمی  $[k^b]$  و  $k'_{\theta_z}$  که معرف سختی مربوط به درجه آزادی چرخشی  $\theta_z$  است به صورت رابطه (9) به دست می‌آید:

$$[k^s] = \begin{bmatrix} [k^m]_{2 \times 2} & 0 & 0 & 0 & 0 \\ 0 & 0 & 0 & 0 & 0 \\ 0 & 0 & [k^b]_{3 \times 3} & 0 & 0 \\ 0 & 0 & 0 & 0 & 0 \\ 0 & 0 & 0 & 0 & k'_{\theta_z} \end{bmatrix} \quad (9)$$

ماتریس‌های سختی المان‌های صفحه و غشایی به ترتیب در روابط (10) و (11) تعریف شده‌اند. در این روابط،  $A^e$  سطح المان است.

### 2- توابع بی-اسپلین

اسپلین‌ها در واقع ابزاری ریاضی هستند که می‌توان به کمک آن‌ها با استفاده از اطلاعات اندکی منحنی‌ها و سطوح پیچیده را به صورت عددی مدل نمود. روش‌های متنوعی جهت تعریف توابع بی-اسپلین‌ها وجود دارد [3]. در این پژوهش از یکی از معمول‌ترین و پرکاربردترین توابع پایه جهت تعریف منحنی‌ها و سطوح پیچیده استفاده شده است.

فرض کنید که مجموعه  $U = \{u_0, u_1, u_2, \dots, u_m\}$  دارای اعضایی باشد که در آن‌ها شرط  $u_i \leq u_{i+1}$ ،  $i = 0, 1, 2, \dots, m$  برقرار باشد. بردار  $U$  را بردار گره  $^1_u$  و  $^m_u$  را گره  $^2_u$  می‌نامند. در این صورت  $N_{i,p}(u)$  نشان داده می‌شود و به صورت رابطه (1) و (2) تعریف می‌گردد [19]:

$$N_{i,0}(u) = \begin{cases} 1 & \text{اگر } u_i \leq u < u_{i+1} \\ 0 & \text{در غیر اینصورت} \end{cases} \quad (1)$$

$$N_{i,p}(u) = \frac{u - u_i}{u_{i+p} - u_i} N_{i,p-1}(u) + \frac{u_{i+p+1} - u}{u_{i+p+1} - u_{i+1}} N_{i+1,p-1}(u) \quad (2)$$

توجه شود که:

▪ در صورتی که در رابطه (2) تقسیم  $^0_u$  به وجود آید، برابر با صفر لاحظ می‌شود.

▪ بازه  $[u_i, u_{i+1}]$  یک دهانه گرهی نامیده می‌شود و می‌تواند دارای طول صفر باشد، زیرا گره‌ها لزوماً دارای مقادیر متمایز نمی‌باشند و استفاده از گره‌های تکراری در بردار گره‌ای مجاز می‌باشد.

▪ برخی از خواص توابع پایه بی-اسپلین، با فرض داشتن بردار گره  $U = \{u_0, u_1, u_2, \dots, u_m\}$  و درجه  $p$ ، به شرح زیر است. این خواص، تأثیرات زیادی در مشخصات منحنی‌ها و سطوح بی-اسپلین خواهد داشت.

▪ محاسبه یک مجموعه از توابع پایه مستلزم داشتن یک بردار گره  $U$  و درجه  $p$  می‌باشد.

▪ تابع  $N_{i,p}(u)$  تابعی پلهای بوده و جز در بازه نیمه باز  $[u_i, u_{i+1}]$  مقدار آن صفر می‌باشد.

▪ به ازای کلیه، تابع پایه  $N_{i,p}(u)$  ترکیب خطی از دو تابع پایه با درجه  $-1$  می‌باشد.

▪ اگر  $u$  خارج از بازه  $[u_i, u_{i+1}]$  باشد، آنگاه مقدار  $N_{i,p}(u) = 0$  خواهد بود.

▪ (این نکته باعث وجود ویژگی کنترل محلی می‌شود که در بهینه سازی شکل از اهمیت زیادی برخوردار است).

▪ به ازای کلیه مقادیر  $i$  و  $p$ ،  $N_{i,p}(u) \geq 0$  است.

▪ برای هر بازه دلخواه  $[u_i, u_{i+1}]$  کلیه مشتقات تابع پایه  $N_{i,p}(u)$  وجود دارند.

▪ اگر تعداد گره  $1+m+n$  باشد، آنگاه  $n+1$  تابع پایه وجود دارد و رابطه  $1+m+n = m-p$  برقرار خواهد بود.

1- Knot vector

2- Knot

با اسپلاین‌ها و کم بودن تعداد متغیرهای طراحی روش تفاضلات محدود هزینه محاسباتی زیادی ایجاد نمی‌کند.

### 5- الگوریتم بهینه‌سازی

در حالت کلی یک مسئله بهینه‌سازی را می‌توان به شکل (16) بیان نمود:

$$F(x) \quad \text{کمینه یا بیشینه}$$

$$\begin{aligned} g_j(x) &\leq 0, \quad j = 1, 2, \dots, n_g \\ x_i^l &\leq x_i \leq x_i^u, \quad i = 1, 2, \dots, n_i \end{aligned} \quad (16)$$

و همچنین در این رابطه  $F(x)$ تابع هدف حاکم بر مسئله است و در روند بهینه‌سازی، اکسترمم شدن آن من نظر قرار دارد، هردار متغیرهای طراحی است و  $x_i^l$  و  $x_i^u$  به ترتیب حدود پایین و بالای متغیرهای طراحی  $x_i$  می‌باشند.  $(x)$  نیز قیود نامساوی مسئله بهینه‌سازی است. در رابطه (7)، تعداد متغیرهای طراحی و قیود مسئله بهینه‌سازی به ترتیب با  $n$  و  $n_g$  نشان داده شده‌اند. در بهینه‌سازی شکل سازه‌ها، هدف یافتن بهترین هندسه از دامنه مرزهای طراحی بدون تغییر در توبولوژی سازه است. به گونه‌ای که تابع هدف تحت قیدهای اعمال شده به مسئله، اکسترمم شود. در حالت کلی همان‌طور که در شکل 3 نشان داده شده است، الگوریتم حل مسئله شامل مراحل زیر می‌باشد که تا رسیدن به شکل بهینه سازه تکرار می‌شوند.

- مدل سازی
- تولید شبکه مش‌بندی و آنالیز اجزای محدود
- تعریف پارامترهای مسئله بهینه‌سازی
- تحلیل حساسیت
- به هنگام کردن مدل

در طول فرآیند بهینه‌سازی شکل، با استفاده از یک الگوریتم مناسب و به کاربردن روش‌های بهینه‌سازی، سعی در رسیدن به مقدار اکسترمم تابع هدف می‌شود. بدین منظور مقدادر جدیدی برای متغیرهای طراحی تعریف می‌شود که سبب ایجاد تغییراتی در شکل سازه خواهد شد. این تغییرات می‌بایست به گونه‌ای صورت گیرد که قیود مسئله را نقض نکند و منجر به بهبود مقدار تابع هدف و تسریع روند بهینه‌سازی شود.

### 6- تعریف مسئله بهینه سازی

به منظور تعریف یک مسئله بهینه‌سازی، ابتدا بایستی ارکان اصلی مسئله بهینه‌سازی تعیین شود. این ارکان شامل متغیرهای طراحی، تابع هدف و قیود حاکم بر مسئله بهینه‌سازی می‌باشد. سپس روند کلی الگوریتم بهینه‌سازی شکل سازه‌ها (شکل 3)، آنقدر تکرار می‌شود تا شکل بهینه سازه به دست آید [7].

### 6-1- متغیرهای طراحی

نحوه انتخاب متغیرهای طراحی مسئله بهینه‌سازی تأثیر قابل توجهی در حل بست آمده و سرعت فرآیند بهینه‌سازی دارد. بدینهی است هر چه متغیرهای طراحی مسئله بهینه‌سازی کمتر باشد، تعداد حلقه‌های تکرارشونده تا رسیدن به جواب نهایی کاهش می‌یابد. استفاده از توابع بی - اسپلاین، امکان تولید و کنترل شکل سازه را با تعداد کمی از متغیرها فراهم می‌سازد. همچنین استفاده از نقاط کنترلی به عنوان متغیرهای طراحی، کنترل محلی در روند بهینه‌سازی را امکان‌پذیر می‌سازد، بدین معنی که تغییر در مقدار یک متغیر طراحی، کل شکل را تغییر خواهد داد. بدین صورت در هر حلقة، برنامه

$$[k^b] = \int_{A^e} [B]_b^T [D_b]_b [B]_b dx dy \quad (10)$$

$$[k^m] = \int_{A^e} [B]_m^T [D_m]_m [B]_m dx dy \quad (11)$$

در روابط (10) و (11)،  $D_m$  و  $D_b$  به ترتیب ماتریس‌های خواص ماده مربوط به المان غشایی و المان صفحه خمی می‌باشند و به صورت رابطه (12) و (13) تعریف می‌شوند در این روابط  $E$  و  $v$  به ترتیب ضریب پواسون و مدول یاگ هستند و  $t$  معرف ضخامت پوسته می‌باشد.

$$D_m = \frac{Et}{(1-v^2)} \begin{bmatrix} 1 & v & 0 \\ v & 1 & 0 \\ 0 & 0 & \left(\frac{1-v}{2}\right) \end{bmatrix} \quad (12)$$

$$D_b = \frac{Et^3}{12(1-v^2)} \begin{bmatrix} 1 & v & 0 \\ v & 1 & 0 \\ 0 & 0 & \left(\frac{1-v}{2}\right) \end{bmatrix} \quad (13)$$

همچنین  $[B]$  و  $[B]_m$  به ترتیب ماتریس‌های مشتق توابع شکل ۱ مربوط به المان غشایی و المان صفحه خمی هستند. با ترکیب ماتریس‌های سختی المان‌های صفحه و غشایی، ماتریس سختی المان پوسته به دست می‌آید. بنابراین می‌توان رابطه (8) را به صورت زیر بازنویسی کرد. لازم به توضیح است که سطر و ستون مربوط به این درجه آزادی قبل از بر هم نهی ماتریس سختی کل سازه حذف می‌شوند. برای توضیحات بیشتر می‌توان به مرجع [18] مراجعه نمود (رابطه (14)).

$$\begin{Bmatrix} F_{xi} \\ F_{yi} \\ F_{zi} \\ M_{xi} \\ M_{yi} \\ M_{zi} \end{Bmatrix} = \begin{Bmatrix} [k^m]_{2 \times 2} & 0 & 0 & 0 & u_i \\ 0 & 0 & 0 & 0 & v_i \\ 0 & 0 & 0 & 0 & w_i \\ 0 & 0 & [k^b]_{3 \times 3} & 0 & \theta_{xi} \\ 0 & 0 & 0 & 0 & \theta_{yi} \\ 0 & 0 & 0 & 0 & \theta_{zi} \end{Bmatrix} \begin{Bmatrix} u_i \\ v_i \\ w_i \\ \theta_{xi} \\ \theta_{yi} \\ \theta_{zi} \end{Bmatrix} \quad (14)$$

### 4- تحلیل حساسیت

حل مسئله بهینه‌سازی با روش‌های برنامه‌ریزی ریاضی نیازمند مقادیر گرادیان‌های توابع هدف و قید است. از این رو در استفاده از این روش‌ها موضوع پیدا کردن مقادیر مشتقه این توابع همواره مطرح است. در حالت کلی این روش‌ها را به سه دسته کلی تحلیلی، عددی و نیمه تحلیلی می‌توان تقسیم نمود. در روش‌های تحلیلی مقادیر مشتقه ای با توابع صریح به دست می‌آیند. در روش‌های عددی مشتقه ای با توابع هدف و قید را با روش‌های مختلف عددی در هر گام بهینه‌سازی محاسبه می‌نمایند. روش‌های نیمه تحلیلی بخشی از عملیات یافتن مشتقه ای به صورت تحلیلی و بخشی از روش‌های عددی انجام می‌شود. برای مرور روش‌های تحلیل حساسیت می‌توان به مرجع [20] مراجعه نمود.

در این مقاله از روش عددی تفاضلات محدود برای تحلیل حساسیت استفاده شده است. به این منظور هر یک از متغیرهای طراحی به میزان کوچکی تغییر داده می‌شوند و مقدار جدید تابع از تفاضلات محدود طبق رابطه (15) به صورت زیر به دست می‌آید:

$$\frac{\partial F}{\partial x_i} = \frac{F(x_i + \Delta x_i) - F(x_i)}{\Delta x_i} \quad (15)$$

که  $F$  می‌تواند تابع هدف یا هر یک از توابع قید باشد. بنابراین با استفاده از این روش در هر گام بهینه‌سازی باید به تعداد مشتقه ای مورد نیاز تحلیل انجام شود. برای مسئله بهینه‌سازی مقاله حاضر با توجه به مدل سازی هندسی

1- Shape Functions  
2- Condensed out

$$F_\omega = \int_{\Omega} \sigma^T D^{-1} \sigma d\Omega \quad (20)$$

در رابطه (20)،  $\Omega$  حجم سازه است.  $D$  نیز ماتریس الاستیسیته است که با توجه به ثابت بودن آن، می‌توان مشتق تابع انرژی کرنشی نسبت به متغیرهای طراحی را به صورت رابطه (21) محاسبه کرد.

$$\frac{\partial F_\omega}{\partial x_i} = \int_{\Omega} \left( \left( \frac{\partial \sigma}{\partial x_i} \right)^T D^{-1} \sigma + \sigma^T D^{-1} \left( \frac{\partial \sigma}{\partial x_i} \right) \right) d\Omega \quad (21)$$

### 6-3- روش برنامه ریزی ترتیبی درجه دو

در تحقیق حاضر از روش برنامه ریزی ترتیبی درجه دو به منظور بهینه‌سازی شکل سازه‌های پوسته‌ای استفاده شده است. این روش بر مبنای حدس اولیه، دنباله‌ای را می‌سازد که این دنباله به یک جواب مسئله همگرا می‌شود. به طور کلی تفاوت روش‌های عددی نیز در نحوه ایجاد همین دنباله است. روش عددی مناسبتر است که دنباله آن با سرعت پیشتری به جواب مسئله همگرا شود. در فرمول‌بندی روش برنامه ریزی ترتیبی درجه دو علاوه بر جملات درجه اول از جملات درجه دوم بسط تیلور تابع هدف نیز استفاده شده است که دقت و سرعت بهینه‌سازی را افزایش می‌دهد.

روند بهینه‌سازی معمولاً با متغیر پیشنهادی طراحی  $x^0$  شروع می‌شود، که به صورت ورودی به برنامه معروفی شده است. سپس طراحی به کمک تغییر در متغیر طراحی  $x_i$  به هنگام می‌شود (رابطه (22)):

$$x_i^q = x_i^{q-1} + \alpha r^q \quad (22)$$

در رابطه (22)،  $q$  شمارنده تکرارها،  $n$  نشان دهنده بردار جهت‌بایها و کمیت  $\alpha$  پارامتر جابه‌جایی برای جهت  $e$  است. جهت  $e$  عموماً جهتی امکان پذیر است که به سمت کمینه یا بیشینه کردن تابع هدف  $F(x)$  می‌باشد [21]. الگوریتم برنامه ریزی ترتیبی درجه دو یک روش تکرار پذیر بسیار مناسب و مفید برای حل عددی مسائل بهینه‌سازی است. در آن مسئله بهینه‌سازی غیرخطی به وسیله زیر مسئله‌های درجه دو، در یک نقطه تقریب زده می‌شود. یک روال ترتیبی برای حل زیر مسئله‌های درجه دو وجود دارد. در الگوریتم این روش تابع هدف این زیر مسئله‌ها همان ضرایب قسمت خطی گرادیان تابع هدف مسئله بهینه‌سازی اصلی در نظر گرفته می‌شوند؛ در حالی که برای قسمت درجه دو از تقریب زنی هسین، برای ضرایب لاگرانژ تابع هدف اصلی، استفاده می‌شود. ابتدا بسط تقریبی سری تیلور تابع هدف و قیدی محاسبه می‌شود. بنابراین طبق رابطه (23)، با در نظر گرفتن بسط درجه دو سری تیلور برای تابع  $F(x)$  حول نقطه  $x^0$  داریم:

$$F(x) = F(x^0) + \nabla F(x^0)^T \delta x + \frac{1}{2} \delta x^T H(x^0) \delta x \quad (23)$$

که در آن  $x - x^0 = \delta x$  و  $\nabla F(x^0)^T \delta x$  در نقطه  $x^0$  بردار گرادیان تابع  $F$  در نقطه  $x^0$  می‌باشد.  $H(x^0)$  نیز ماتریس هسین نام دارد و به صورت رابطه (24) تعریف می‌شود:

$$H_{ij} = \frac{\partial^2 F}{\partial x_i \partial x_j} \quad (24)$$

این چنین فرض می‌شود که در رابطه (24)، بردار گرادیان و ماتریس هسین، تقریب خوبی برای تابع  $F(x)$  داردند، به ویژه زمانی که  $x^0$  نزدیک به نقطه بهینه باشد. در این روش قیود زیر مسئله‌ها، تقریبی خطی از مسئله اصلی می‌باشد. می‌توان نشان داد که بردار  $e$  به دست آمده از حل زیر مسئله‌ها، که در تعريف می‌شود (رابطه (22)), برداری است که جهت آن به صورت تقریبی به سمت نقطه کمینه یا بیشینه محلی برای تابع هدف، می‌باشد؛

1- Hessian

بهینه‌سازی با تغییر دادن مختصات نقاط کنترلی، هندسه جدیدی از سازه را به وجود می‌آورد و با استفاده از هندسه جدید در هر حلقه، قیود مسئله مورد بررسی قرار می‌گیرند. این روند تا اکسترم شدن تابع هدف مورد نظر تحت تابع قید و رسیدن به شکل بهینه نهایی مسئله ادامه پیدا می‌کند.

### 6-2- توابع قید و هدف

عموماً مسائل بهینه‌سازی دارای قیدهای رفتاری و هندسی می‌باشند. از آن جمله می‌توان به محدودیت تنش‌ها، تغییرمکان‌ها و محدودیت‌های هندسی در نقاط خاص از دامنه اشاره کرد. وزن، حجم، انرژی کرنشی ذخیره شده از جمله توابع هدفی هستند که در مسائل بهینه‌سازی شکل ارائه شده در این مقاله، وزن سازه و تنش فون میزس به عنوان قیدهای حاکم بر مسئله بهینه‌سازی شکل در نظر گرفته شده‌اند.

قید وزن به صورت روابط (17) و (18) قابل تعریف می‌باشد. در این روابط  $W^l$  و  $W^u$  حدود پایین و بالا وزن مواد تشکیل دهنده سازه می‌باشند.

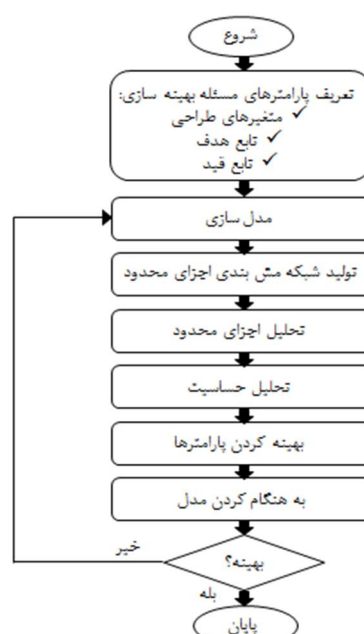
$$g_W^l = \frac{W^l - W}{W^l} \leq 0 \quad (17)$$

$$g_W^u = \frac{W - W^u}{W^u} \leq 0 \quad (18)$$

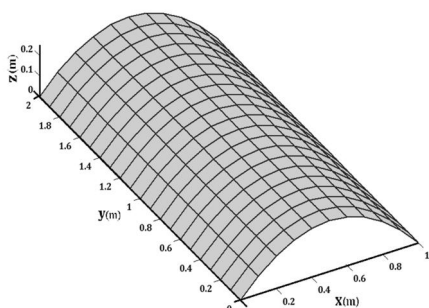
تنش فون میزس نیز یکی دیگر از قیود رایج در مسائل بهینه‌سازی به شمار می‌آید و طبق رابطه (19) قابل تعریف است. در این رابطه  $\sigma_0$  مقدار تنش فون میزس مجاز در نظر گرفته شده برای مسئله بهینه‌سازی است. به نحوی که شرط نامساوی می‌باشد. همواره در روند بهینه‌سازی برقرار باشد و تنش فون میزس سازه از  $\sigma_0$  تجاوز نکند.

$$\sigma_{V,M} = \left( \sigma_x^2 + \sigma_y^2 + \sigma_z^2 - (\sigma_x \sigma_y + \sigma_x \sigma_z + \sigma_y \sigma_z) + 3(\tau_{xy}^2 + \tau_{xz}^2 + \tau_{yz}^2) \right)^{1/2} \leq \sigma_0 \quad (19)$$

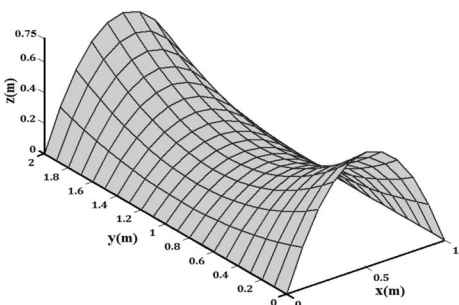
در مثال‌های ارائه شده از دو تابع انرژی کرنشی و حجم سازه به عنوان تابع هدف مسئله بهینه‌سازی استفاده شده است. انرژی کرنشی سازه را می‌توان با استفاده از رابطه (20) بدست آورد.



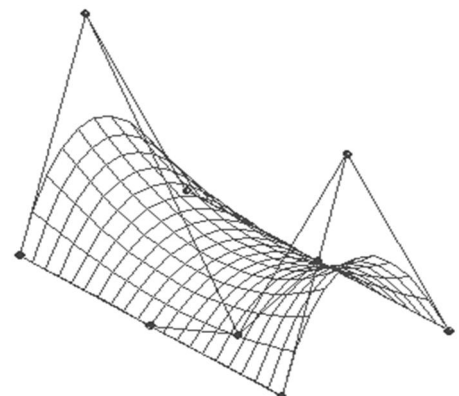
شکل 3 الگوریتم بهینه‌سازی شکل سازه



شکل 6 شبکه اجزای محدود مدل اولیه



شکل 7 شبکه بهینه سازه



شکل 8 شبکه نقاط کنترلی شکل بهینه

در نمودارهای روند بهینه سازی، محور افقی بیانگر تعداد دفعاتی است که سایبروتین بهینه سازی فراخوانی شده است و محور قائم نیز بیانگر مقدار تابع هدف می باشد. روند کاهش تابع هدف بعد از 32 بار فراخوانی برنامه بهینه سازی در شکل 9 نشان داده شده است. همان طور که مشاهده می شود در روند بهینه سازی انرژی کرنشی سازه از مقدار  $0.22 \text{ N.m}$  به  $0.25 \text{ N.m}$  کاهش یافته است.

کاهش انرژی کرنشی سازه منجر به کاهش تغییر مکان های سازه بهینه در مقایسه با سازه اولیه می شود. بنابراین سازه بهینه نسبت به سازه اولیه تغییر شکل کمتری دارد. این مطلب در شکل های 10 و 11 قابل مشاهده است. همان طور که مشاهده شد متغیرهای طراحی کمی در این مسئله بهینه سازی در نظر گرفته شده است و با در نظر گرفتن مختصات دو نقطه کنترلی به عنوان یک متغیر طراحی تعداد متغیرهای طراحی باز هم کاهش داده شده است، که این امر در مسائلی که تعداد نقاط کنترلی زیادی دارند می تواند قابل اهمیت باشد.

مخصوصاً زمانی که  $x^0$  نزدیک به نقطه بیشینه باشد. با مشخص شدن جهت  $\omega$ ، یک مسئله جهت یابی یک بعدی برای به هنگام کردن متغیرها حل می شود از یک تابع پنالتی<sup>1</sup> خارجی برای نگه داشتن جهت  $\omega$  در محدوده مجاز استفاده می شود. توضیحات بیشتر در مورد این روش را می توان در مراجع [22, 23] یافت.

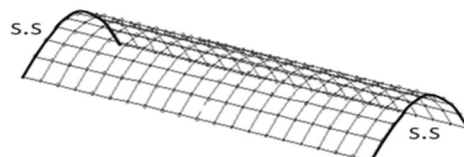
## 7- مثال های بهینه سازی شکل

به منظور تبیین قابلیت برنامه بهینه سازی شکل سازه های پوسته ای، چهار مسئله بهینه سازی ارائه شده است. در مثال های 1 و 2 انرژی کرنشی به عنوان تابع هدف و وزن سازه به عنوان قید مسئله بهینه سازی در نظر گرفته شده اند. در مثال 3 سازه پوسته ای مثال 2 با هدف کمینه کردن انرژی کرنشی تحت قید تنش فون میزس مورد بررسی قرار گرفته است. در مثال 4، حجم سازه تحت قید تنش فون میزس کمینه شده است و شکل های سازه بهینه به همراه نمودارهای روند بهینه سازی ارائه شده اند.

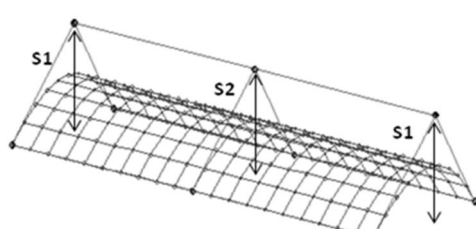
### 1-7 مثال

در این مثال سازه ای استوانه ای شکل تحت بارگشت دهی کنواخت  $F_z = 200 \text{ kN/m}^2$ ، با شرایط تکیه گاهی ساده<sup>2</sup> در دو انتهای منحنی شکل سازه در نظر گرفته شده است (شکل 4). ضخامت پوسته  $0.01 \text{ m}$  در نظر گرفته شده است. مدول الاستیسیته و ضریب پواسونیه ترتیب برابر با  $E = 200 \text{ GPa}$  و  $\nu = 0.3$  می باشند. هدف کمینه کردن انرژی کرنشی با قید ثابت ماندن وزن سازه است. به منظور مدل سازی هندسه این سازه از 6 نقطه کنترلی استفاده شده است. اما در روند بهینه سازی همان طور که در شکل 5 قابل ملاحظه است، صرفاً مختصات  $Z$  دو نقطه کنترلی میانی و انتهایی یعنی  $S1$  و  $S2$  به عنوان متغیر طراحی در نظر شده اند. مقادیر  $S1$  و  $S2$  قبل از بهینه سازی برابر  $0/25 \text{ m}$  می باشند.

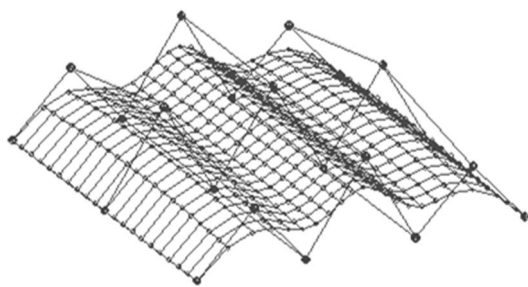
بردارهای گره در دو جهت به صورت یکسان و برابر به صورت  $u = v = 0, 0, 0, 1, 1, 1$  در نظر گرفته شده اند. مدل اجزای محدود شامل 200 المان پوسته ویلسون و 231 گره می باشد (شکل 6). شکل و شبکه کنترلی سازه بهینه به دست آمده، به ترتیب در شکل های 7 و 8 نشان داده شده است.



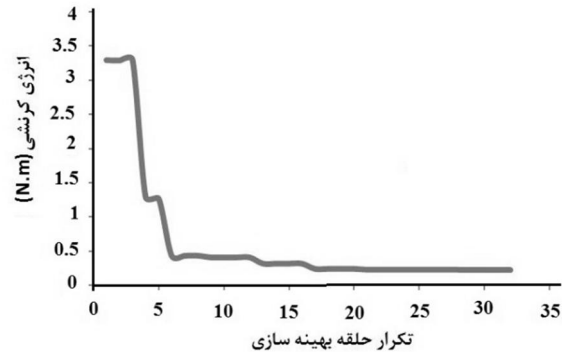
شکل 4 شرایط مرزی و شکل اولیه پوسته

شکل 5 شبکه نقاط کنترلی و متغیرهای طراحی  $S1$  و  $S2$ 

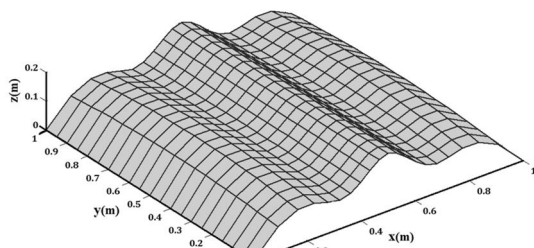
1- Penalty function  
2- Simple support



شکل 12 شبکه نقاط کنترلی سازه اولیه



شکل 9 تغییرات تابع هدف در روند بهینه‌سازی

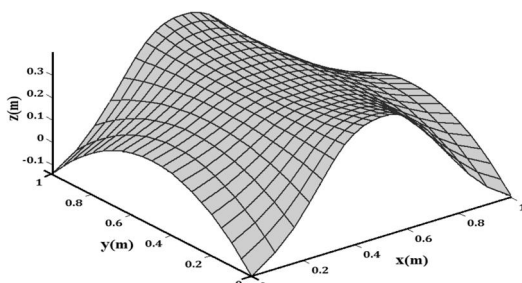


شکل 13

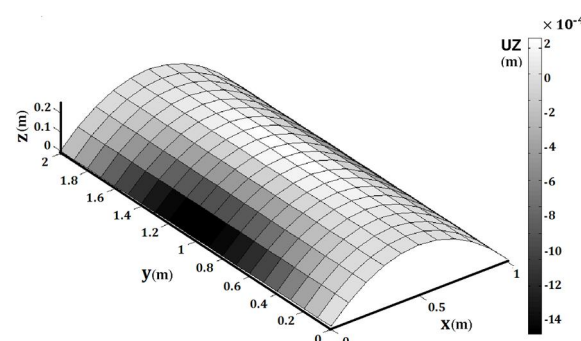
شبکه اجزای محدود شکل اولیه پوسته

ماندن وزن سازه اعمال شده است. شکل و شبکه نقاط کنترلی سازه بهینه به دست آمده به ترتیب در شکل‌های 14 و 15 نشان داده شده است. روند کاهش تابع هدف نیز در شکل 16 قابل مشاهده است. در روند بهینه‌سازی انرژی کرنشی سازه از مقدار  $24/377 \text{ N.m}$  به  $905/733 \text{ N.m}$  کاهش یافته است.

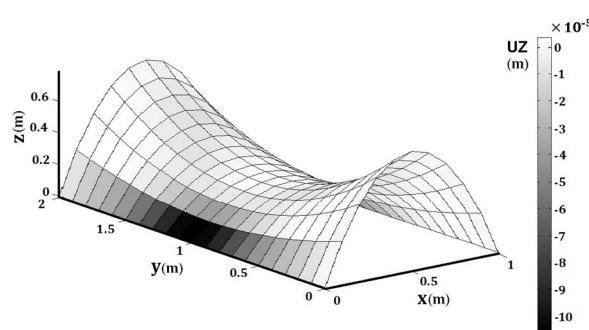
با کمینه شدن انرژی کرنشی سازه، سختی<sup>1</sup> سازه افزایش می‌یابد.



شکل 14 شکل بهینه سازه



شکل 10 کانتور تغییر شکل عمودی سازه قبل از بهینه‌سازی



شکل 11 کانتور تغییر شکل عمودی سازه بهینه شده

## 2-2-7- مثال 2

در این مثال سازه‌ای پوسته‌ای به ابعاد  $1\text{m} \times 0.01\text{m}$ ، تحت بار جانبی  $F_z = -100\text{kN/m}^2$  گستردۀ یکنواخت  $E = 12\text{GPa}$  و  $\nu = 0/3$  دارد. مدل الاستیسیته و ضریب پواسونیه ترتیب برابر با  $E = 12\text{GPa}$  و  $\nu = 0/0,0,0/25,0/5,0/75,1,1,1,1$  می‌باشد. بردارهای گره در دو جهت برابر  $\{0,0,0,1,1,1\}$  و  $\{0,0,0,0,0,0\}$  نظر گرفته شده اند و همان‌طور که در شکل 12 نشان داده شده است به منظور مدل‌سازی این سازه پوسته‌ای از 21 نقطه کنترلی استفاده شده است. مدل اجزای محدود شامل 400 المان پوسته ویلسون و 442 گره می‌باشد(شکل 13).

برنامه بهینه‌سازی شکل تدوین شده محدودیتی در تعداد متغیرهای طراحی و همچنین شکل اولیه سازه ندارد؛ لذا در این مثال سازه پوسته‌ای با شکل دلخواه و نسبتاً پیچیده با تعداد متغیرهای طراحی بیشتری مد نظر قرار گرفته است. هدف کمینه کردن انرژی کرنشی است در حالی که قید ثابت

شکل 15 شبکه نقاط کنترلی شکل بهینه

1- stiffness

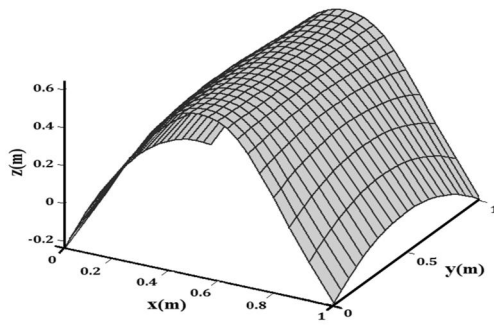
94 21 قابل مشاهده است. همانطور که مشاهده می‌شود شکل بهینه پس از 94 بار فراخوانی سابرتین‌ها بهینه‌سازی به دست آمده است.

در روند بهینه‌سازی انرژی کرنشی سازه از مقدار  $905/733 \text{ N.m}$  به  $14/22 \text{ N.m}$  کاهش یافته است. کاهش انرژی کرنشی منجر به کاهش نرمی<sup>1</sup> سازه شده است. در نتیجه تغییرشکل‌های شکل بهینه نسبت به سازه اولیه کمتر می‌باشد. این موضوع در شکل‌های 22 و 23 قابل مشاهده است.

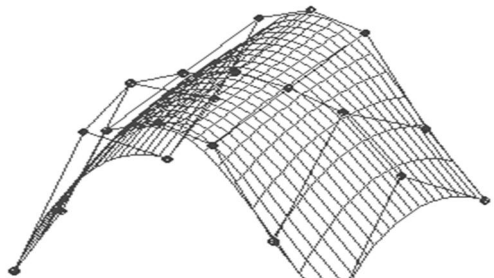
در شکل‌های 24 و 25 کانتورهای تنش سازه قبل و بعد از بهینه‌سازی نمایش داده شده است. مشاهده می‌شود که تنش فون میزس شکل بهینه، همان‌طور که قید مسئله برای آن ایجاب می‌کند کمتر از تنش فون میزس شکل اولیه به دست آمده است.

#### 7-4- مثال 4

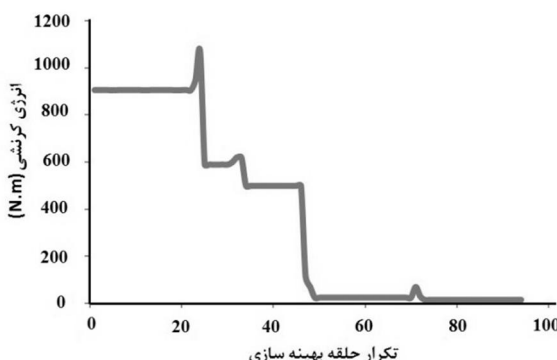
در این مثال سازه‌ای پوسته‌ای مطابق شکل 26 تحت بار گسترده یکنواخت



شکل 19 شکل بهینه سازه



شکل 20 شبکه نقاط کنترلی شکل بهینه

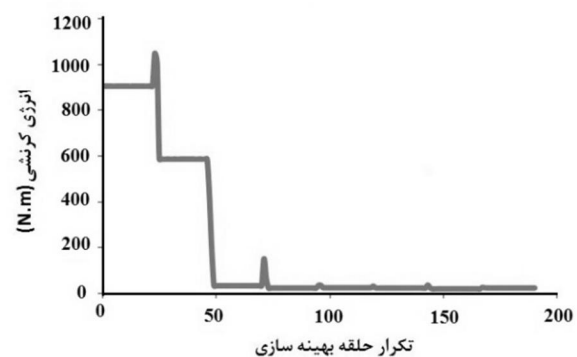


شکل 21 تغییراتتابع هدف در روند بهینه‌سازی

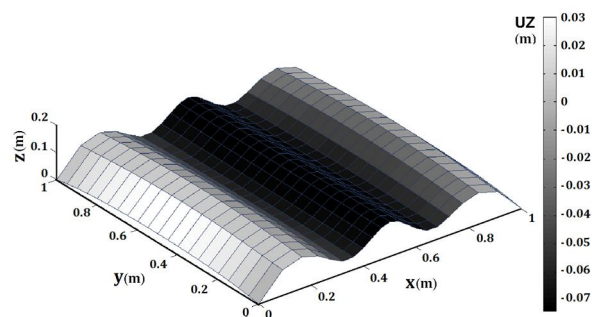
بنابراین تغییرشکل‌های سازه بهینه شده نسبت به مدل اولیه کاهش یافته است. این موضوع در شکل‌های 17 و 18 قابل مشاهده است. بدین ترتیب در روند بهینه‌سازی شکل، سازه‌ای با وزن ثابت اما سختی بیشتر به دست آمده است که در اثر اعمال بارگذاری مشابه تغییرشکل‌های کمتری خواهد داشت.

#### 7-3- مثال 3

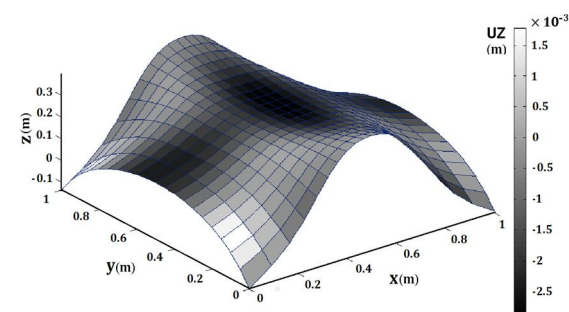
در این مثال سازه‌ای پوسته‌ای مثال 2 با همان شرایط بارگذاری و خواص مواد در نظر گرفته شده است (شکل 13). هدف همچنان کمینه کردن انرژی کرنشی سازه است. با این تفاوت که تنش فون میزس به عنوان قید مسئله مد نظر قرار گرفته است. چرا که از نقطه نظر مهندسی بهینه‌سازی سازه تحت این قید کارایی بیشتری دارد. حد مجاز تنش فون میزس سازه کمتر از تنش میزز به دست آمده در مدل اولیه و برابر  $215 \text{ MPa}$  در نظر گرفته شده است. شکل و شبکه نقاط کنترلی سازه بهینه به دست آمده به ترتیب در شکل‌های 19 و 20 نشان داده شده است. روند کاهش تابع هدف نیز در شکل



شکل 16 تغییرات تابع هدف در روند بهینه‌سازی



شکل 17 کانتور تغییرشکل عمودی سازه قبل از بهینه‌سازی



شکل 18 کانتور تغییرشکل عمودی سازه بهینه شده

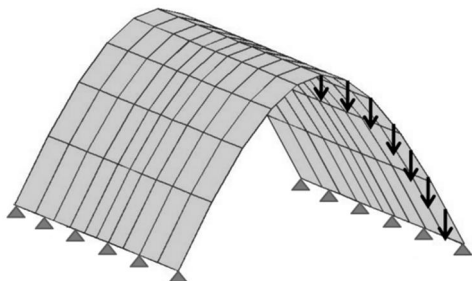
1-compliance

**16** نقطه کنترلی استفاده شده است و بردارهای گره در دو جهت  $u = v$   $\{0,0,0/5,1,1,1\}$  به صورت یکسان در نظر گرفته شده اند. همان طور که در شکل 28 نشان داده شده است مدل اجزای محدود شامل 200 المان پوسته ویلسون و 231 گره می باشد.

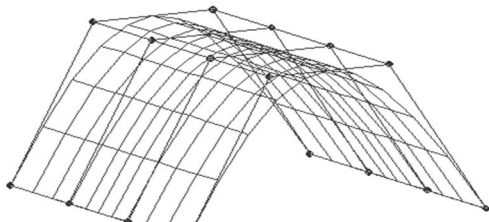
هدف کمینه کردن حجم سازه با اعمال قید تنش فون میزس می باشد و حداقل تنش مجاز 290MPa در نظر گرفته شده است. سه نما از شکل بهینه به دست آمده در شکل 29 قابل مشاهده است.

همچنین شکل بهینه به دست آمده در مرجع [24] به منظور مقایسه در شکل 30 نشان داده شده است. همان طور که مشاهده می شود شکل بهینه به دست آمده نسبت به شکل بهینه مرجع مورد نظر، از مراژه های هموارتر و یکنواخت تری برخوردار است. این امر به دلیل استفاده از نقاط کنترلی به عنوان متغیر طراحی است. در حالی که در مرجع مورد نظر از مختصات یک سری از گره های شبکه اجزای محدود به عنوان متغیر طراحی استفاده شده است.

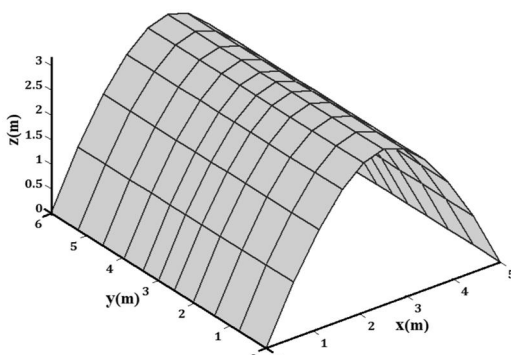
روند تغییرات تابع هدف در مراحل بهینه سازی در شکل 31 نشان داده شده است. همان طور که مشاهده می شود پس از 77 حلقه تکرار، حجم سازه



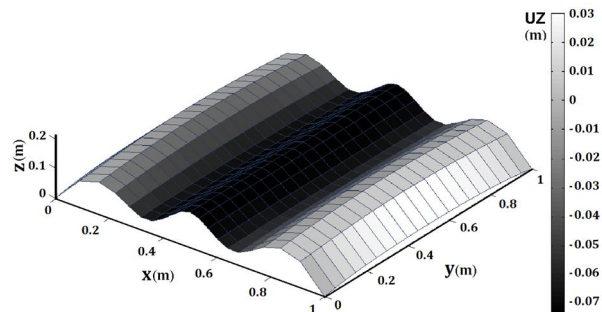
شکل 26 بارگذاری و شرایط مرزی مدل اولیه



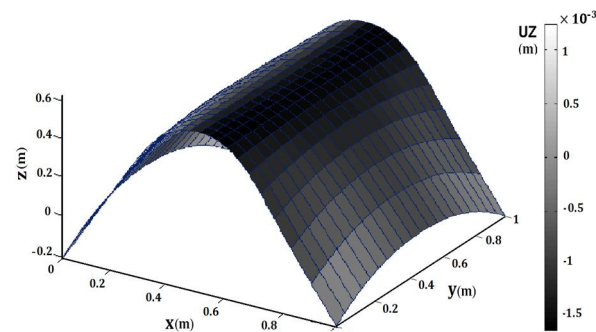
شکل 27 شبکه نقاط کنترلی سازه اولیه



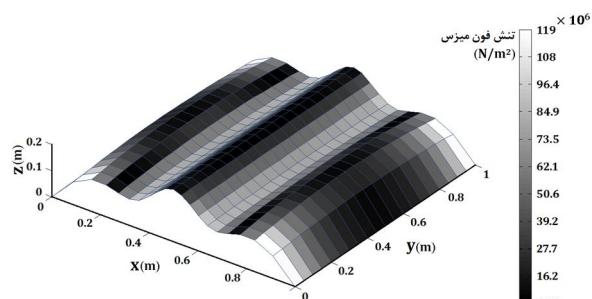
شکل 28 شبکه اجزای محدود شکل اولیه پوسته



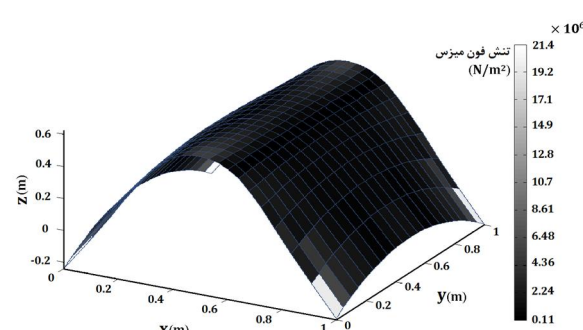
شکل 22 کانتور تغییر شکل عمودی سازه قبل از بهینه سازی



شکل 23 کانتور تغییر شکل عمودی سازه بهینه شده

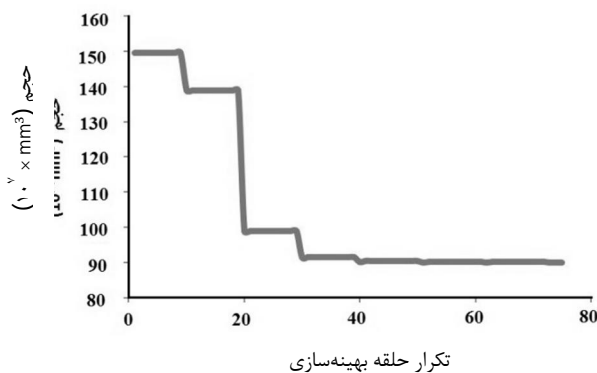


شکل 24 کانتور تنش فون میزس قبل از بهینه سازی

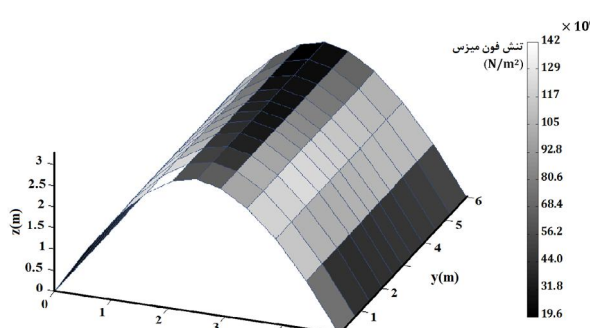


شکل 25 کانتور تنش فون میزس بعد از بهینه سازی

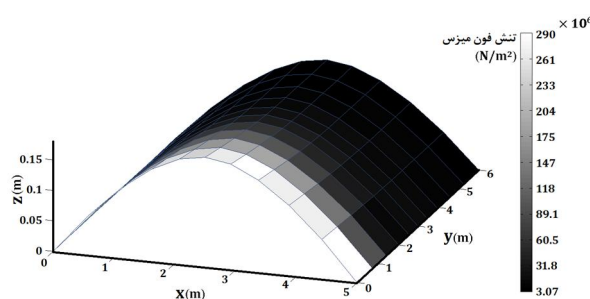
تکیه گاهی ساده برقرار دارد و در راستای طول استوانه شرایط  $73/6 \times 10^{-3} \text{ kN/mm}$  قرار دارد. ضخامت سازه  $30\text{mm}$  و مدول الاستیسیته و ضریب پواسون به ترتیب  $E = 210\text{kN/mm}^2$  و  $\nu = 0/3$  می باشند. همان طور که در شکل 27 قابل ملاحظه است به منظور مدل سازی سازه مورد نظر از



شکل 31 تغییرات تابع هدف در روند بهینه‌سازی



شکل 32 کانتورتنش فون میزس قبل از بهینه‌سازی



شکل 33 کانتورتنش فون میزس بعد از بهینه‌سازی

کترلی به عنوان متغیرهای طراحی مساله بهینه‌سازی، منجر به کاهش تعداد متغیرهای طراحی و همچنین تولید پوسته‌های بهینه با شکل هموار و پیوسته شده است. این موضوع یکی از نقاط قوت روش بهینه‌سازی ارائه شده در این مقاله به شمار آید.

روش ارائه شده در این مقاله به خوبی قابلیت بهینه‌سازی شکل پوسته‌ها با اعمال قید تنش را نیز دارد می‌باشد، که در بیشتر مسائل بهینه‌سازی دارای اهمیت عملی می‌باشد. به علاوه، همان‌گونه که از مثال‌های ارائه شده برمی‌آید، روش دنبال شده این امکان را فراهم می‌سازد تا با تعداد کمی از متغیرهای طراحی بتوان به پوسته‌هایی بهینه و با شکل هموار دست یافت.

## 9- مراجع

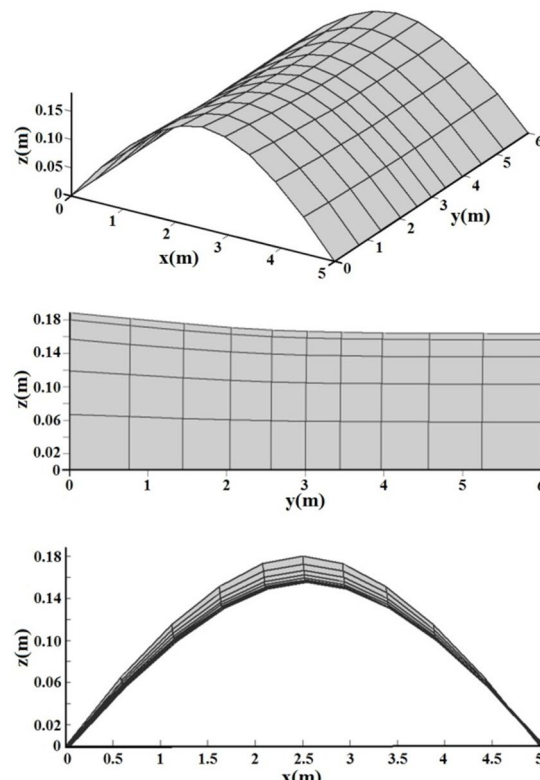
- [1] R. T. Haftka, R. V. Grandhi, Structural shape optimization—a survey. *Computer Methods in Applied Mechanics and Engineering*, Vol. 30, pp. 263–84, 1982.
- [2] Y. Ding, Shape optimization of structures: a literature survey. *Comput Struct*, Vol. 24, pp. 985–1004, 1986.
- [3] N.Olhoff, G. Rozvany, *Structural and multidisciplinary optimization*. Pergamon Press, Oxford, 1995.

از  $149/66 \times 10^7 \text{ mm}^3$  به مقدار  $90/4 \times 10^7 \text{ mm}^3$  کاهش یافته است. در [24] حجم سازه بهینه شده پس از بهینه‌سازی به مقدار  $90/5 \times 10^7 \text{ mm}^3$  کاهش یافته است. که نشان دهنده تطابق بسیار خوبی با نتایج این مقاله می‌باشد.

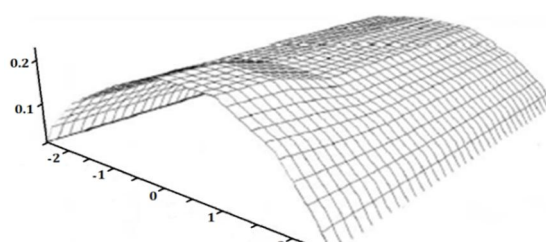
همان‌طور که اشاره شد حد مجاز تنش فون میزس سازه بیشتر از تنش فون میزس مدل اولیه و  $290 \text{ MPa}$  در نظر گرفته شده است. در زیر کانتورهای تنش سازه قبل و بعد از بهینه‌سازی قابل مشاهده است. همان‌طور که در شکل‌های 32 و 33 مشاهده می‌شود تنش فون میزس در سازه بهینه بیشتر از تنش فون میزس مدل اولیه و کمتر از تنش مجاز  $290 \text{ MPa}$  می‌باشد.

## 8- جمع‌بندی

در این مقاله بهینه‌سازی شکل پوسته‌های با شکل دلخواه، با در نظر گرفتن توابع هدف انرژی کرنشی و وزن و قیدهای تنش فون میزس و وزن سازه مورد بررسی قرار گرفت. نتایج مثال‌های ارائه شده نشان می‌دهد که استفاده از توابع بی-اسپلاین به منظور مدل‌سازی شکل رویه‌ها و در نظر گرفتن نقاط



شکل 29 سه نما از شکل بهینه سازه



شکل 30 شکل بهینه سازه [17]

- applied mechanics and engineering*, Vol. 195, pp. 2611–2634, 2006.
- [15] T. Tysmans, S. Adrienssens, J. Wastelaers, Shape optimization of small-span textile reinforced cementitious composite shells, in: *Proceedings of the International Association for Shell & Spatial Structures Symposium*, Valencia, Spain, 2009.
- [16] B. Hassani, S. M. Tavakkoli, H. Ghasemnejad, shell shape optimization by NURBS technique, *National Congress on Civil Engineering*, Semnan, 2011. (In Persian)
- [17] M. Liua, M. Xinga, Q. Yangb, X. Yangb, Computational morphogenesis of free form shell structures by optimization, *International Conference on Advances in Computational Modeling and Simulation*, Vol 31, pp. 608–612, 2012.
- [18] E. L. Wilson, Three-Dimensional Static and Dynamic Analysis of Structures, *Computers and Structures*, California, 2002.
- [19] L. A. Piegl, W. Tiller, *The NURBS Book (Monographs in Visual Communication)*, Springer-Verlag, 1997.
- [20] F. VanKeulen, R. T. Haftka, N. H. Kim, Review of options for structural design sensitivity analysis. Part 1: Linear systems. *Computer methods in applied mechanics and engineering*, Vol. 194(30), pp. 3213–3243, 2005.
- [21] M. Ozaka, *Analysis and optimal design of structures with adaptivity*, Ph.D Thesis, Department of Civil Engineering, University of Wales, Swansea, UK, 1993.
- [22] S.M.B. Afonso, *Shape optimization of shells under static and free vibration conditions*, PhD thesis, Department of civil Engineering, University of Wales, Swansea, UK, 1995.
- [23] B. Hassani, E. Hinton, *Homogenization and Structural Topology Optimization, Theory, Practice and Software*, Springer-Verlag, 1999.
- [24] U. Uzman, R. Gul, H. Uysal, Optimum shape design of shell structures, *Journal of Engineering Structures*, Vol. 29, pp. 80–87, 2007.
- [4] O. C. Zienkiewicz, J. S. Campbell, *Shape optimization and sequential linear programming*. New York: John Wiley, 1973.
- [5] M. Ozakca, *Analysis and optimal design of structures with adaptivity*, Ph.D Thesis, Civil Engineering University of Swansea, UK, 1993.
- [6] V. Braibant, C. Fleury, Shape Optimal Design Using B-Splines, *Computer Methods in Applied Mechanics and Engineering*, Vol. 44, Aug., pp. 247–267, 1984.
- [7] C. Y. Lin, L. S. Chao, Automated image interpretation for integrated topology and shape optimization. *Struct Optim*, Vol. 20, pp. 125–137, 2000.
- [8] K. Maute, E. Ramm, Adaptive topology optimization of shell structures. *AIAA J*, Vol. 35, pp. 1767–1773, 1997.
- [9] R. Ansola, J. Canales, J. A. Tarrago, J. Rasmussen, simultaneous shape and material layout optimization of shell structures. *Struct Optim*, Vol. 24, pp. 175–184, 2002.
- [10] B. Hassani, S. M. Tavakkoli, H. Ghasemnejad, Simultaneous shape and topology optimization of shell structures. *Structural and Multidisciplinary Optimization*, Vol. 48(1), pp. 221–233, 2013.
- [11] S. Cai, W. Zhang, J. Zhu, T. Gao, Stress constrained shape and topology optimization with fixed mesh: A B-Spline finite cell method combined with level set function, *Computer Methods in Applied Mechanics and Engineering*, Vol. 278, pp. 361–387, 2014.
- [12] A. Muc, M. M. Wierzbniak, An evolution strategy in structural optimization problems for plates and shells, *Composite Structures*, Vol. 4, pp. 1461–1470, 2012.
- [13] S. J. Lee, E. Hinton, Dangers inherited in shells optimized with linear assumptions. *Computers and Structures*, Vol. 78, pp. 473–486, 2000.
- [14] M. Kegl, B. Brank, Shape optimization of truss-stiffened shell structures with variable thickness, *Computer methods in*